Федеральное государственное бюджетное образовательное учреждение высшего образования

«Ростовский государственный университет путей сообщения»

На правах рукописи

Doneel

КОНЕЕВ РУСТАМ ВИКТОРОВИЧ

РЕЗОНАНСЫ И АНОМАЛИИ ПРИ РАССЕЯНИИ ФОТОНА ЭЛЕКТРОНАМИ АТОМА И АТОМНОГО ИОНА

01.04.15 – физика и технология наноструктур, атомная и молекулярная физика

АВТОРЕФЕРАТ

диссертации на соискание ученой степени **кандидата** физико-математических наук

Ростов-на-Дону 2019 Работа выполнена в Федеральном государственном бюджетном образовательном учреждении высшего образования «Ростовский государственный университет путей сообщения» (ФГБОУ ВО РГУПС)

Научный руководитель:	доктор физико-математических наук, доцент Надолинский Алексей Михайлович (Ростовский государственный университет путей сообщения, кафедра «Физика», профессор)			
Официальные оппоненты:	доктор физико-математических наук Грум-Гржимайло Алексей Николаевич (Национальный исследовательский институт ядерный физики им. Д.В. Скобельцина «МГУ», отдел электромагнитных процессов и взаимодействия атомных ядер, ведущий научный сотрудник)			
	кандидат физико-математических наук Таранухина Анна Ивановна (Южный федеральный университет, кафедра теоретической и вычислительной физики, доцент)			
диссертационного совета (специальность 01.04.15) пр	стоится « 03 » марта 2020 г. в 13 ⁰⁰ часов на заседании ЮФУ01.01 по физико-математическим наукам ои Южном федеральном университете по адресу: орге 5, физический факультет, ауд.247.			
ЮФУ им. Ю.А. Жданова по а	о ознакомиться в Зональной научной библиотеке адресу: г. Ростов-на-Дону, ул. Зорге, 21Ж и на сайте: acement/5c0457f8-ca1e-4d43-b8b1-76048633f3f8/			
Автореферат разослан «»	2020 года			
имя, отчество, учёную степень должность, адрес, телефон, с учреждения просим направлять ЮФУ01.01 при ЮФУ по адресу	нем укажите дату, а также полностью свои фамилию, со специальностью, звание, организацию, подразделение, e-mail) с заверенной подписью рецензента и печатью в в 2 экз. учёному секретарю диссертационного совета т. 344090, г.Ростов-на-Дону, ул. Андрея Сладкова, 178/24, lf — на e-mail: podkovyrina@sfedu.ru			
Учёный секретарь диссертационного совета	Ю.С. Подковырина			

ОБЩАЯ ХАРАКТЕРИСТИКА РАБОТЫ

Актуальность темы исследования

Повышение уровня спектрального разрешения современного эксперимента в области физики рассеяния многоэлектронными системами электромагнитного излучения определяет необходимость модификации существующих теоретических моделей описания процесса. Наша работа представляет такую модификацию для комптоновского рассеяния одного, двух и Рэлеевского рассеяния трёх фотонов электронами свободного атома и атомных ионов.

Существующие настоящему времени мировой научноисследовательской практике исследования комптоновского рассеяния в своей теоретической части продолжают использовать модели, приближении некогерентной функции рассеяния (НФР) И Указанные приближения [1].определены $\eta = qa_0/Z >> 1$ (q -вектор импульса, переданный атому (или атомному иону), a_0 – боровский радиус и Z – заряд ядра рассеивающей системы). Строгое ограничение этим условием приводит к формальной неприменимости, прежде всего, импульсного приближения в интенсивно исследуемых современной физикой областях энергий фотона и углов его рассеяния. Более того, в данных приближениях волновые функции фотоэлектронов сплошного спектра рассматриваются в виде плоских волн [2]. В итоге игнорируются не только l —мультипольности $[0 \le l < \infty)$ существование бесконечной отличающихся одночастичных xl-состояний рассеяния, но не учитывается также и фаза процесса рассеяния. Это обстоятельство, в свою очередь, означает исключение одного из существеннейших многочастичных эффектов – эффекта монопольной перестройки состояний сплошного спектра энергий в поле возникающих вакансий.

Таким образом, тема диссертации, посвященная развитию нерелятивистской квантовой теории описания нелинейного процесса комптоновского рассеяния фотона электронами атома (атомного иона), спектральных методов расчета характеристик процесса вне рамок импульсного и НФР приближений, а также модификация теории многофотонного рассеяния атомом (атомным ионом) является актуальной для физики не только оптического, но и рентгеновского диапазонов и имеет как фундаментальное, так и прикладное значение.

Степень разработанности

Стремление разработать квантовомеханическую модель надёжного и достоверного расчета спектров комптоновского рассеяния фотона электронами атома (атомного иона) в областях порогов ионизации их глубоких оболочек вне, используемых традиционно, импульсного и НФР приближений, а также попытка создать нерелятивистскую модель упругого рассеяния трёх фотонов

атомом (атомным ионом) стало основанием для выбора тематики нашей работы.

Цели и задачи диссертации

В диссертации поставлена цель квантовомеханического описания процесса комптоновского рассеяния фотона электронами атома (атомного иона) вне условий применимости указанных выше приближений и создания теоретической модели процесса слияния фотонов в поле атома (атомного иона). Для осуществления поставленной цели сформулированы основные задачи исследования:

- 1. Развить аналитические и численные методы расчета дифференциальных сечений комптоновского рассеяния фотона атомом (атомным ионом) вне рамок импульсного и НФР приближения.
- 2. Проанализировать причины появления гигантских автоионизационных резонансов в сечении комптоновского рассеяния фотона электронами свободного атома Мп при распаде виртуальной 3p—вакансии по каналу Костера-Кронига.
- 3. Исследовать процессы нелинейного взаимодействия фотонов с электроном сплошного спектра состояния $1s \to \epsilon p$ фотоионизации атома Ве, приводящего к возникновению в сечении рассеяния области аномального комптоновского рассеяния.
- 4. Сформулировать теорию нелинейного эффекта слияния трёх фотонов в один фотон в области энергии порога ионизации 1*s* оболочки атома Ne.
- 5. Исследовать гигантские резонансы и угловую анизотропию дифференциального сечения слияния по мере перехода от атома Ne к положительно заряженным ионам его изоэлектронного ряда (Ar^{8+} , Ti^{12+} , Fe^{16+}).

Объекты и предмет исследования

Объектами теоретического исследования диссертаци выбраны атомы с полностью заполненными оболочками — 4 Ве и 10 Ne, атомы с заполняющейся 3d —оболочкой (22 Ti и 25 Mn) и ряд неоноподобных (Ar^{8+} , Ti^{12+} и Fe^{16+}) атомных ионов.

Атомы Ве и Ne, а также неоноподобные ионы с ${}^{1}S_{0}$ термом в их основном состоянии выбраны по причинам того, что их изучение позволяет установить роль *многоэлектронных* эффектов в процессах рассеяния без рассмотрения влияния, в частности, твердотельных эффектов.

Атомы Ті и Мп выбраны с целью исследования динамики сечений процесса рассеяния в металлах четвертого периода с заполняющейся 3d оболочкой.

Теоретические основы исследования

При решении всех задач диссертации ставились требования получения не относительных, а абсолютных значений дифференциальных сечений процессов.

Такой способ исследования позволяет: (а) провести сравнение с теоретических результатов диссертации с результатами существующих экспериментов и (б) сделать теоретические предсказания для проведения будущих экспериментов в соответствии с принципом верификации. При построении волновых функций состояний многоэлектронных систем и матричных элементов операторов использовались квантовых переходов В диссертации неортогональных орбиталей, теория неприводимых тензорных операторов, многих тел на основе квантовой теории возмущений. Волновые функций орбиталей получены диссертации решением атомных В систем нерелятивистских уравнений Хартри-Фока.

Научная новизна определена следующими основными результатами, прлученными в диссертации:

- 1. Впервые выполнен расчет абсолютных величин и исследована форма дифференциального сечения комптоновского рассеяния неполяризованного фотона электронами атома титана вне моделей, базирующихся на приближении некогерентной функции рассеяния и импульсном приближении. Результаты расчета хорошо согласуются с результатами эксперимента.
- 2. Впервые на примере атома марганца предсказано существование *автоионизационного* гигантского резонанса в спектрах комптоновского рассеяния фотона электронами атома с заполняющейся 3d—оболочкой основного состояния.
- 3. Впервые установлено, что в процессе комптоновского рассеяния абсолютные величины сечений и формы профилей автоионизационных резонансов существенно изменяются при варьировании энергий $\hbar\omega_1$ падающего, $\hbar\omega_2$ –рассеянного фотонов и θ –угла рассеяния.
- 4. Впервые предсказано, на аттосекундной шкале времени что процесс контактного взаимодействия фотона с электронами возбужденного атома приводит к эффекту рождения резонансов *аномального* $(\hbar\omega_2 > \hbar\omega_1)$ комптоновского рассеяния.
- 5. Впервые на примере атома Ne и ионов его изоэлектронного ряда изучен эффект слияния (merging) трех XFEL—фотонов в один фотон (XFEL X-ray Free Electron Laser рентгеновский лазер на свободных электронах). Получены абсолютные величины и формы дифференциального сечения слияния.
- 6. Впервые установлено, что три фотона с наибольшей вероятностью сливаются в один фотон в областях угла рассеяния $\theta \in (90^{\circ}, 180^{\circ})$ обратное рассеяние.

Теоретическая и практическая значимость работы

Развитые в диссертации теория и методы расчетов могут быть обобщены, например, на случай описания спектров твердых тел. Это определяет их *ценность* для последующего развития теории комптоновского рассеяния фотона веществом в *конденсированном состоянии*.

Полученные в диссертации результаты для атома с открытой оболочкой найдут своё применение при интерпретации будущих экспериментов, таких, как с рентгеновским лазером на свободных электронах [3], при исследовании проблем управляемого термоядерного синтеза [4], космологии [5] и при исследовании биологически важных систем [6].

Полученные в диссертации оценки абсолютных значений максимумов дифференциальных сечений нелинейного эффекта слияния трех XFEL—фотонов в один фотон в поле атома (и атомного иона) демонстрируют принципиальную возможность экспериментального обнаружения данного процесса при ожидаемом в недалеком будущем уровне яркости XFEL—систем.

Научные положения, выносимые на защиту

- 1. Распад виртуальной 3p-вакансии по $3p^53d^6 \rightarrow 3p^63d^4\varepsilon f$ каналу Костера-Кронига приводит к появлению гигантского автоионизационного резонанса в сечении комптоновского рассеяния фотона атомом Mn.
- 2. Нелинейное взаимодействие рентгеновских фотонов с электроном сплошного спектра 1 *sep*—состояния фотоионизации атома Ве приводит к возникновению в сечении рассеяния области аномального комптоновского рассеяния.
- 3. Нелинейный эффект слияния трёх фотонов в один фотон в области энергии порога ионизации 1*s*—оболочки атома Ne приводит к появлению ярко выраженной резонансной структуры и сильной угловой анизотропии дифференциального сечения рассеяния.
- 4. Переход от атома неона к элементам его изоэлектронного ряда (Ar^{8+} , Ti^{12+} , Fe^{16+}) сопровождается: (а) возникновением гигантских резонансов слияния; (б) сохранением эффекта сильной угловой анизотропии дифференциального сечения рассеяния.

Достоверность и обоснованность основных результатов проведённых исследований и выводов, сделанных на их основе обеспечена корректным применением математического аппарата нерелятивистской квантовой теории многоэлектронных систем при расчете волновых функций, энергий и амплитуд вероятности процессов, апробированных компьютерных программ и хорошим согласием основных особенностей рассчитанных спектров рассеяния с результатами существующих синхротронных экспериментов.

Апробация основных результатов диссертации проходила на шести, ниже указанных, конференциях:

- 1. ІХ Международная конференция "Фундаментальные проблемы оптики" ФПО-2016 (Санкт-Петербург, Россия, 17–21 октября 2016).
- 2. VI Международная конференция по фотонике и информационной оптике (Москва, Россия, 1–3 февраля 2017).
- 3. VII Международная конференция по фотонике и информационной оптике (Москва, Россия, 24–26 января 2018).

- 4. X Международная конференция "Фундаментальные проблемы оптики" ФПО-2018 (Санкт-Петербург, Россия, 15–19 октября 2018).
- 5. VIII Международная конференция по фотонике и информационной оптике (Москва, Россия, 23–25 января 2019).

Публикации автора

По материалам исследований, выполненных в диссертации опубликовано 18 печатных работ: 6 статей опубликовано в журналах, входящих в базы данных международных индексов научного цитирования Scopus и Web of Science, 7 статей опубликовано в журналах, входящих в базу РИНЦ, и 5 тезисов в сборниках научных трудов всероссийских и международных конференций.

Структура и объём диссертации

Диссертационная работа состоит из Введения, 4–х глав и Заключения. Объём диссертации составляет 118 страниц, включая 26 рисунков, 2 таблицы, список цитируемой литературы из 111 библиографических наименований и список публикаций автора из 18 наименований.

Краткое содержание работы

Во **Введении** представлена общая характеристика работы. Сформулирована основная цель и задачи исследования, а также даны основные результаты и положения, выносимые на защиту. Отмечена научная новизна и указана практическая ценность полученных в диссертации результатов.

В Первой главе работы изложены основы стандартных теоретических подходов (импульсное приближение, приближение некогерентной функции рассеяния) к описанию нерезонансного комптоновского рассеяния фотона многоэлектронной системой. Дан обзор результатов существующих экспериментальных и теоретических исследований. Цель обзора – дать описание существующего к настоящему времени состояния исследований и показать актуальность задач, решаемых в диссертации. Основное внимание в теоретического обзоре обращено моделям исследования К комптоновского рассеяния фотона многоэлектронными системами в областях энергий падающего фотона, значительно превышающих энергию порога ионизации глубокой оболочки.

Во **Второй главе** диссертации получена аналитическая структура дифференциального сечения и представлены результаты расчета процесса нормального ($\hbar\omega_2 < \hbar\omega_1$) нерезонансного комптоновского рассеяния электромагнитного излучения электронами атома с открытой 3d-оболочкой (атомы Mn и Ti).

Установлено, что в дважды дифференциальном сечении рассеяния атома Mn (открытая $3d^5$ -оболочка) появляется гигантский автоионизационный

резонанс, обусловленный распадом виртуальной 3p—вакансии по $3p^53d^6 \rightarrow 3p^63d^4\epsilon f$ каналу (безрадиационного типа) Костера-Кронига.

Проведен расчет абсолютных величин и формы спектра комптоновского рассеяния *неполяризованного* фотона электронами атома Ti (открытая $3d^2-$ оболочка). Дано сравнение результатов диссертации как с импульсным приближением, так и с результатами существующего синхротронного эксперимента.

В **Разделе 2.1** в схеме *LS*–связи представлена математическая структура для описания дважды дифференциального сечения комптоновского рассеяния линейно поляризованного (перепендикулярно (\bot) плоскости рассеяния) электромагнитного излучения энергии $\hbar\omega_1$ электронами n_1l_1 –оболочки свободного атома:

$$\sigma_{n_1 l_1} \equiv d^2 \sigma_{n_1 l_1} / d\omega_2 d\Omega = r_0^2 (\mathbf{e}_1 \cdot \mathbf{e}_2) \left(\frac{\omega_2}{\omega_1} \right)_0^{\infty} P_{n_1 l_1} G_{n_1 l_1} d\varepsilon, \tag{1}$$

$$P_{n_{l}l_{1}} = [J]^{-1} \sum_{TT'} \sum_{t=0}^{\infty} [t] |(A ||Q^{(t)}||B)|^{2}, \qquad (2)$$

$$(A \| Q^{(t)} \| B) = (-1)^{l+L_1-S-J'} \delta_{SS'} \sqrt{N_1 [L, L', J, J']} \quad (l_1^{N_1} LS \| l_1^{N_1-1} (L_1 S_1) l_1) \times \begin{cases} l_1 & L & L_1 \\ L' & l & t \end{cases} \begin{cases} L & J & S \\ J' & L' & t \end{cases} (l_1 \| C^{(t)} \| l) R_t (n_1 l_1, \varepsilon l) ,$$

$$(3)$$

$$R_t(n_1 l_1, \varepsilon l) = \int_0^\infty P_{n_1 l_1}(r) j_t(qr) P_{\varepsilon l}(r) dr, \qquad (4)$$

$$q = (\omega_1/c) \cdot (1 + \beta^2 - 2\beta \cdot \cos\theta)^{1/2}, \tag{5}$$

$$G_{n_l l_1} = \frac{1}{\gamma_b \sqrt{\pi}} \left[-\left(\frac{\Delta_{n_l l_1} - \varepsilon}{\gamma_b}\right)^2 \right],\tag{6}$$

где принята атомная система единиц ($e=m_e=\hbar=1$), Ω — пространственный угол вылета фотона рассеянного атомом, r_0 — классический радиус электрона, \mathbf{e}_1 и \mathbf{e}_2 — векторы поляризации падающего и рассеянного фотонов, соответственно, [J]=2J+1, T=LS, A — и B — основное и конечное состояние атома-рассеивателя, $\beta=\omega_2/\omega_1$, θ — угол рассеяния, N_1 — число заполнения n_1l_1 — оболочки, $P_{n_1l_1}$ — радиальная часть волновой функции n_1l_1 — электрона, c — скорость света в вакууме, j_t — сферическая функция Бесселя первого рода t — порядка, $\gamma_b=\Gamma_{beam}/2\sqrt{\ln 2}$, Γ_{beam} — ширина инструментальной функции Гаусса-Лапласа $G_{n_1l_1}$ на половине её максимума, $\Delta_{n_1l_1}=\omega_1-\omega_2-I_{n_1l_1}$ и $I_{n_1l_1}$ — энергия порога ионизации n_1l_1 — оболочки.

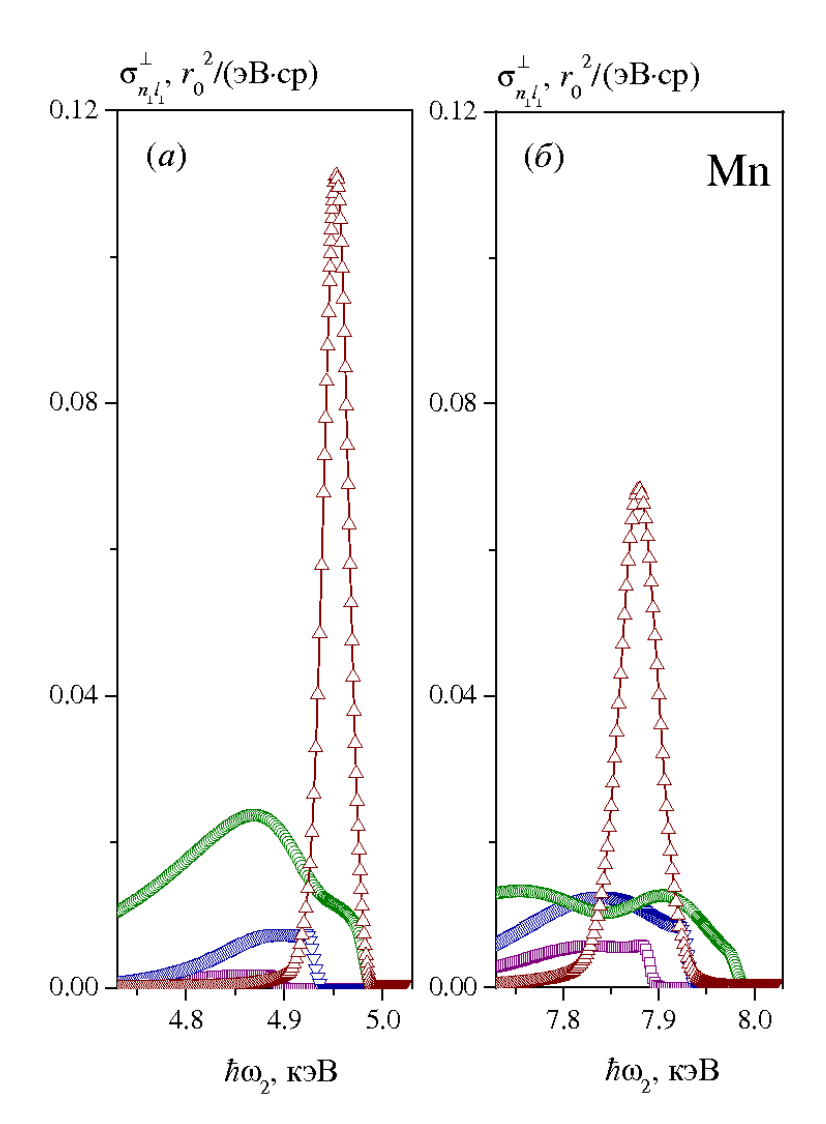


Рисунок 1 - Парциальные дважды дифференциальные сечения Комптоновского рассеяния линейно поляризованного фотона электронами атома Мп $\delta e s$ учета канала автоионизации (теория диссертации): $n_1 l_1 = 3 s$ (квадрат), 3 p (треугольник вниз), 3 d (кружок), 4 s (треугольник вверх). $\hbar \omega_1 = 5 \text{ кэВ } (a)$, $8 \text{ кэВ } (\delta)$, $\theta = 90^\circ$, $\Gamma_{beam} = 10 \text{ эВ. Вклад глубоких } 1 s$, 2 s и 2 p оболочек определен s h e энергетических шкал Рис. $1 (\hbar \omega_2 \le 4.35 (a)$ и $7.35 (\delta)$ кэВ)

В Разделе 2.2 изложены результаты теоретических исследований процесса нерезонансного комптоновского рассеяния электромагнитного излучения атомом с открытой оболочкой.

Результаты эксперимента, представленные в работе [8] обнаружили в M_{23} -спектре поглощения мягкого рентгеновского фотона (длина волны $\lambda \sim 206 \div 280$ Å) атомом марганца (Mn: ядра Z = 25, заряд $[0] = (Ar)3d^54s^2[^6S_{5/2}]$ существование гигантского автоионизационного резонанса.

В данном Разделе диссертации мы устанавливаем, что обнаруженный резонанс достаточно ярко проявляется и в спектре нерезонансного комптоновского рассеяния фотона электронами свободного атома Mn.

В **Разделе 2.2.1** проведен расчет для атома Mn (Рис. 1,2) и выполнено сравнение результатов теории диссертации с результатами выполненными в рамках импульсного приближения.

В Разделе 2.2.2 проведен расчет для атома титана (Рис. 3,4). Этот атом «близок» к атому Mn и также имеет открытую 3d-оболочку (Ti: Z=22, $[0] = (Ar)3d^2 4s^2[^3F_2]$). Выбор атома Ті обусловлен, прежде всего, тем, что для него авторами работы [9] проведены первые экспериментальные исследования дифференциального относительных величин формы дважды И рассеяния неполяризованного рентгеновского фотона. Это позволило провести непосредственное сравнение результатов нашего расчета экспериментальными данными (наряду импульсного результатами приближения).

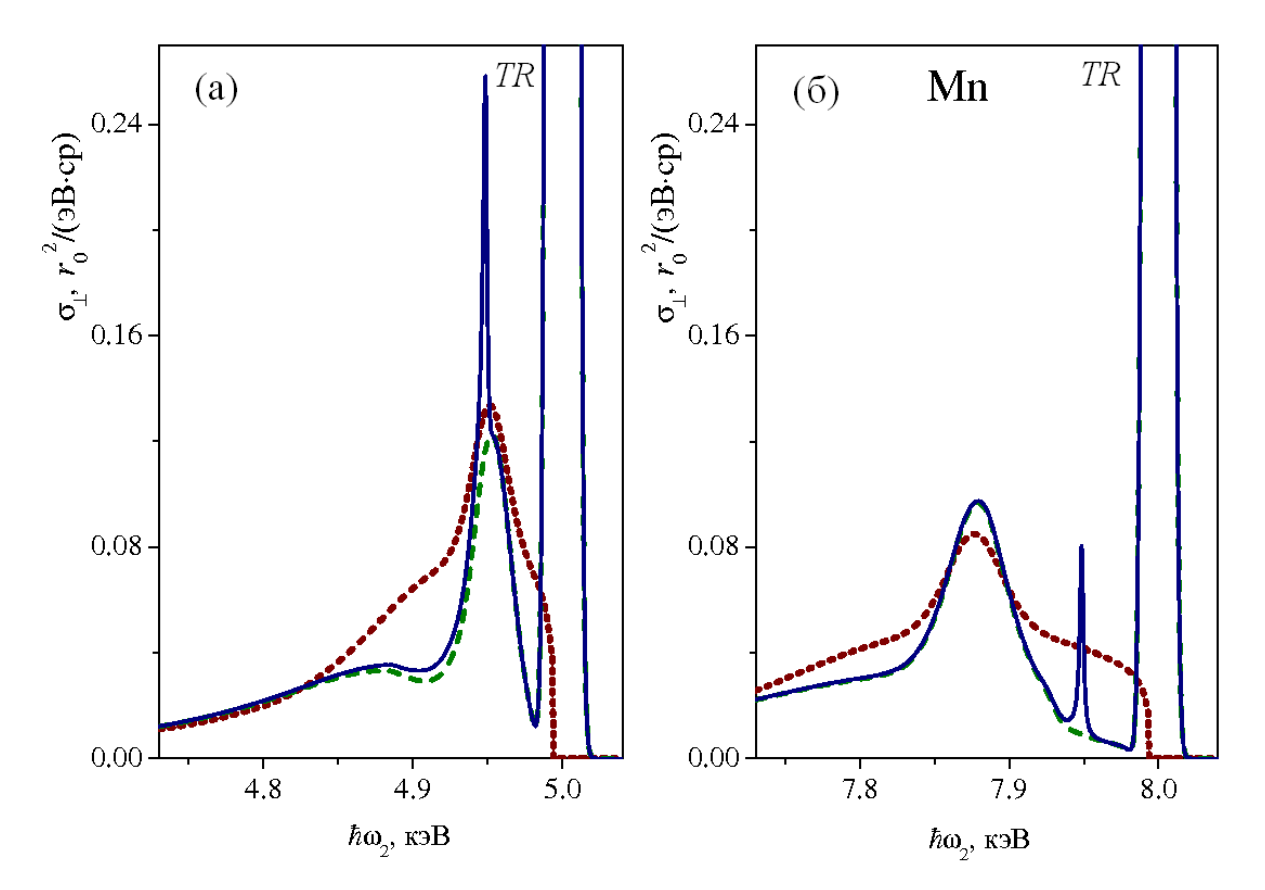


Рисунок 2 - Полные дважды дифференциальные сечения рассеяния линейно поляризованного (\bot) фотона электронами атома Мп (теория диссертации): сплошная кривая (штрих) — учтен (*не* учтен) канал автоионизации. Пунктир — результат выполненный в рамках импульсного приближения (по данным работы [7]). $\hbar\omega_1 = 5$ кэВ (а), 8 кэВ (б), $\theta = 90^\circ$, $\Gamma_{beam} = 10$ эВ. В области упругого Томсоновского (T) и Рэлеевского (R) рассеяния $\max(\sigma_{\bot}^{TR}) = 21.07$ (а), 12.70 (б) $r_0^2/(3\text{B}\cdot\text{cp})$

В **Третьей главе** диссертации на примере атома Ве изучен процесс рассеяния фотона электронами возбужденного атома на аттосекундной шкале (1ac = 10^{-18} c) времени фотон—электронного взаимодействия. Установлено, что в сечении рассеяния, наряду с профилем нормального ($\hbar\omega_2 < \hbar\omega_1$) комптоновского рассеяния и томсоновской линией упругого ($\hbar\omega_2 = \hbar\omega_1$) рассеяния, возникают резонансы аномального комптоновского рассеяния фотона электроном сплошного спектра при энергиях рассеянного фотона $\hbar\omega_2 > \hbar\omega_1$ ($\hbar\omega_2^{\rm max} = 2\hbar\omega_1 - I_{1s}$).

В Разделе 3.1 проведено построение *трижды* дифференциального сечения процесса, реализуемого *после* ионизации нейтрального атома в

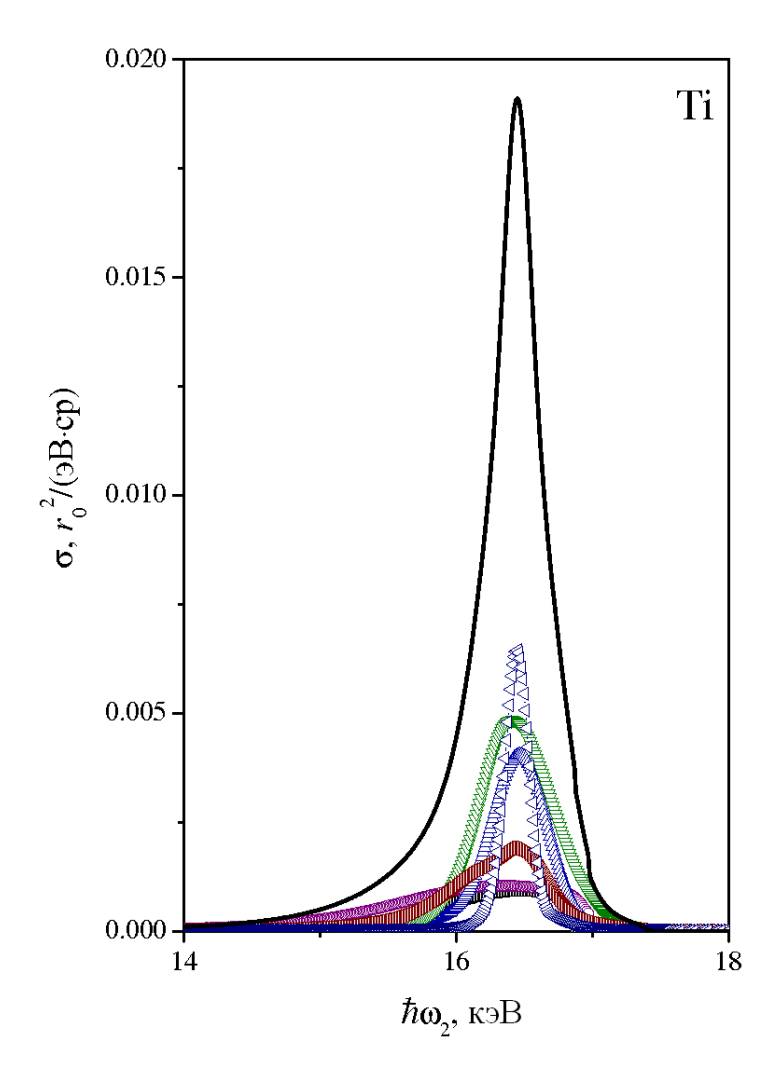


Рисунок 3 - Парциальные дважды дифференциальные сечения Комптоновского рассеяния *неполяризованного* излучения электронами атома Ті (теория диссертации): $n_1l_1=2s$ (квадрат), 2p (кружок), 3s (треугольник *вверх*), 3p (треугольник *вниз*), 3d (треугольник *вправо*), 4s (треугольник *влево*) и полное сечение – сплошная кривая. Вклад глубокой 1s оболочки ($\hbar\omega_2 \le 12.49$ кэВ) определен вне энергетической шкалы Рис. $3. \hbar\omega_1 = 17.44$ кэВ ($K\alpha$ –линия Мо), $\theta = 141^\circ$, $\Gamma_{beam} = 180$ эВ (параметры эксперимента [9])

состояние 1*s* ϵp фотоном, обладающим энергией $\hbar \omega_0$,

$$\hbar\omega_0 + [0] \to 1s\varepsilon p[^1P_1]. \tag{7}$$

Для трижды дифференциального сечения получаем (в обычных единицах):

$$\frac{d^3 \sigma_{\perp}}{d\hbar \omega_0 d\hbar \omega_2 d\Omega} = r_0^2 \left(\frac{\omega_2}{\omega_1}\right) B(x, y) \equiv \sigma_{\perp}^{(3)}, \qquad (8)$$

$$B(x,y) = \sum_{l=0}^{\infty} (l+1)[Q_l^2(xp, y(l+1)) + Q_{l+1}^2(xp, yl)],$$
(9)

$$Q_{l}(a,b) = \int_{0}^{\infty} P_{a}(r) j_{l}(qr) P_{b}(r) dr, \qquad (10)$$

$$x = \hbar \omega_0 - I_{1s} \ge 0, \tag{11}$$

$$y = \hbar \omega_1 - \hbar \omega_2 + x \ge 0. \tag{12}$$

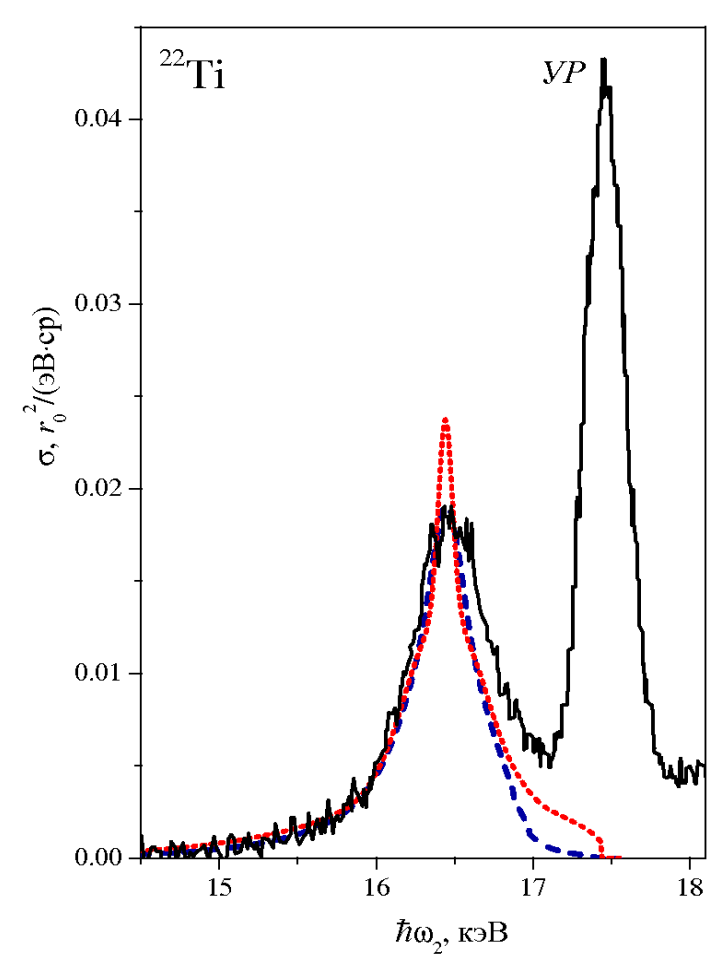


Рисунок 4 - Полные дважды дифференциальные сечения рассеяния *неполяризованного* излучения атомом Ті: штриховая кривая — теория диссертации, пунктирная — результат импульсного приближения (по данным работы [7]). Сплошная кривая — эксперимент работы Синха и др. (2006) [9]: $\hbar\omega_1 = 17.44$ кэВ ($K\alpha$ —линия Мо), $\theta = 141^\circ$, $\Gamma_{beam} = 180$ эВ. VP — упругое рэлеевское рассеяние

В Разделе 3.2 представлены результаты расчёта сечения процесса рассеяния (8) для свободного атома Ве.

Для энергии падающего фотона принято значение $\hbar\omega_1=1$ кэВ. Заметим, что указанное значение энергии существенно превышает величину энергии

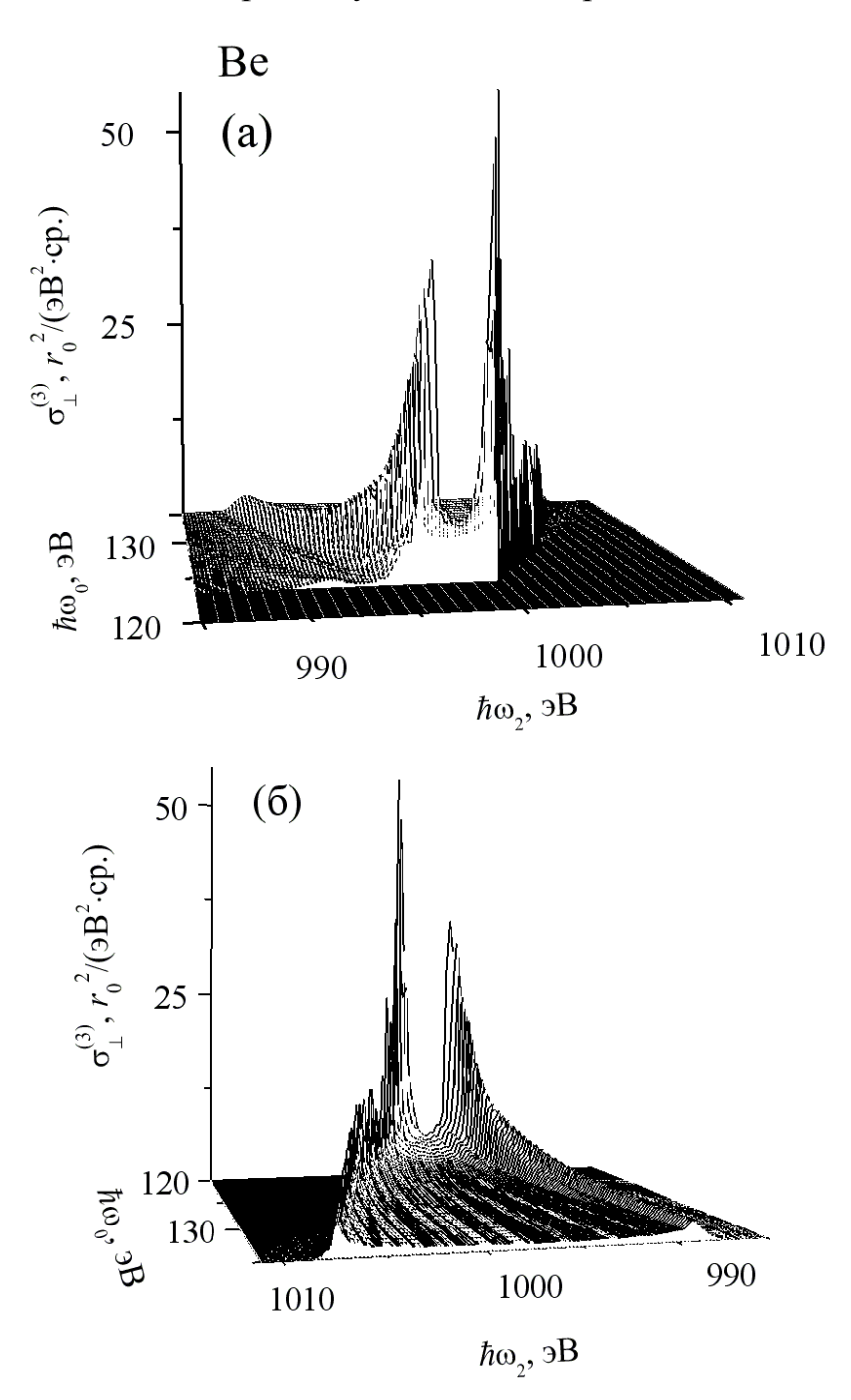


Рисунок 5 - Трижды дифференциальное сечение рассеяния линейно поляризованного $\hbar\omega_1$ —фотона ϵp —электроном сплошного спектра состояния $1s \to \epsilon p$ канала фотоионизации атома Ве в приближении $\Gamma_{1s} = \Gamma_{beam} = 0$. (б) — см. Рис. 5(а), развернутый на угол 180° . $\hbar\omega_1 = 1$ кэВ, $I_{1s} = 123.09$ эВ, $\theta = 90^\circ$, $\hbar\omega_0$ — энергия фотона, приготавливающего состояния ионизации как начальные состояния процесса и $\hbar\omega_2$ — энергия рассеянного фотона

порога ионизации 1s-оболочки атома Ве $I_{1s}=123.09$ эВ (расчет диссертации). Для величины спектрального разрешения предполагаемого эксперимента в области Томсоновского рассеяния принято $\Gamma_{beam}=1$ эВ. Это значение превышает естественную ширину распада 1s-вакансии атома Ве $\Gamma_{1s}=0.016$ эВ (расчет диссертации) и соответствует современному уровню спектрального разрешения экспериментов по исследованию неупругого рассеяния фотона атомом ($\Gamma_{beam}\cong 1.00$ эВ [10]). Угол рассеяния принят равным $\theta=90^\circ$. При расчетах величин (10) учтены значения l от 0 до 25.

Оценки показывают, что учет старших гармоник мультипольности (l > 25) изменяет величину сечений (8) не более чем на 0.1 %.

Рис. 5 демонстрирует, что с увеличением энергии $\hbar\omega_0$ —фотона локальные максимумы сечений нормального комптоновского рассеяния смещаются в длинноволновую по энергии $\hbar\omega_2$ —фотона область относительно энергии упругого рассеяния и уменьшаются. Форма самих профилей сечения рассеяния заметно уширяется.

Аналогичные изменения, но в *коротковолновой* области по энергии $\hbar\omega_2$ фотона, наблюдаются как для комптоновских профилей, так и локальных

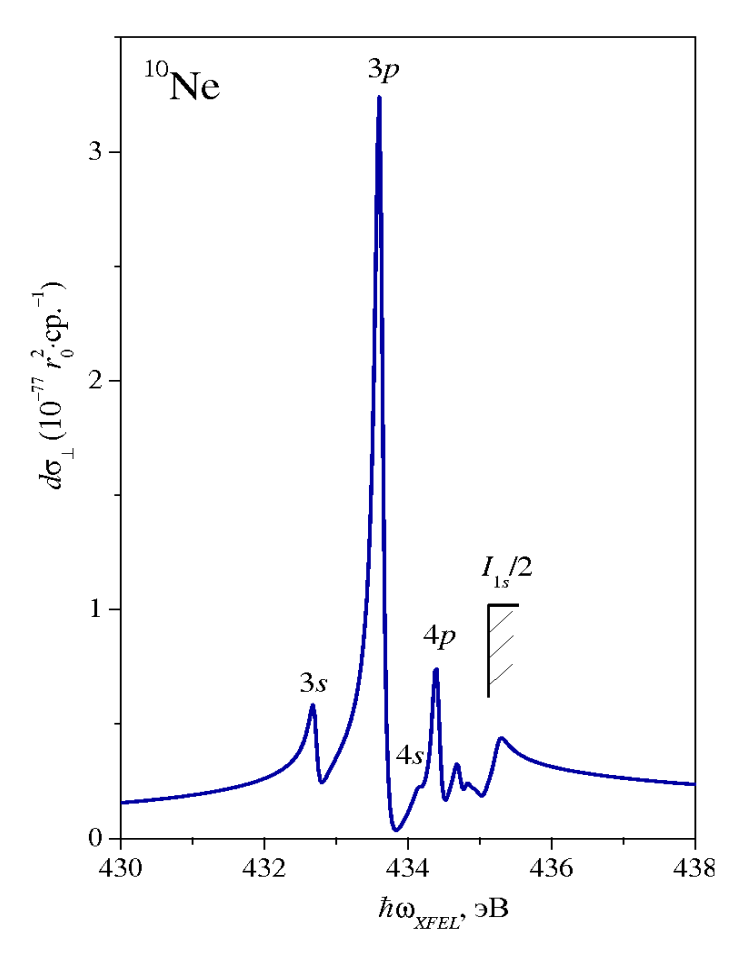


Рисунок 6 - Дифференциальное сечение слияния для атома Ne в области энергии падающего XFEL—фотона $2\hbar\omega\cong I_{1s}\pm 40$ эВ. $\theta=150^\circ,\ I_{1s}=870.17$ и $\Gamma_{1s}=0.27$ эВ

максимумов сечения аномального комптоновского рассеяния.

Четвертая глава диссертации посвящена первому теоретическому исследованию процесса слияния трёх XFEL—фотонов в поле свободного атома (атомного иона). В качестве объектов исследований взяты свободный атом Ne и ионы его изоэлектронной последовательности (Ar^{8+} , Ti^{12+} и Fe^{16+}).

Получены абсолютные величины и формы дифференциального сечения слияния. В областях энергий падающего XFEL—фотона $\hbar\omega \cong I_{1s}/2$ установлены ярко выраженные резонансные структуры и сильная угловая анизотропия дифференциального сечения слияния. Показано, что в предполагаемой схеме XFEL—эксперимента (компланарное и аксиально—симметричное слияние) три XFEL—фотона сливаются в один фотон с наибольшей вероятностью в области углов рассеяния $\theta \in (90^\circ; 180^\circ)$ — обратное рассеяние.

В **Разделе 4.1** установлена структура дифференциального сечения эффекта слияния трех XFEL—фотонов в один фотон в поле свободного атома с ${}^{1}S_{0}$ —термом основного состояния (принята атомная система единиц):

$$\omega + \omega + \omega + [0] \to X \to [0] + \omega_R, \tag{13}$$

где ω (ω_R) — энергия падающего (рассеянного) фотона, X — промежуточные (виртуальные) состояния квантовой системы «атом \oplus фотоны» и закон сохранения энергии имеет вид $\omega_R=3\omega$.

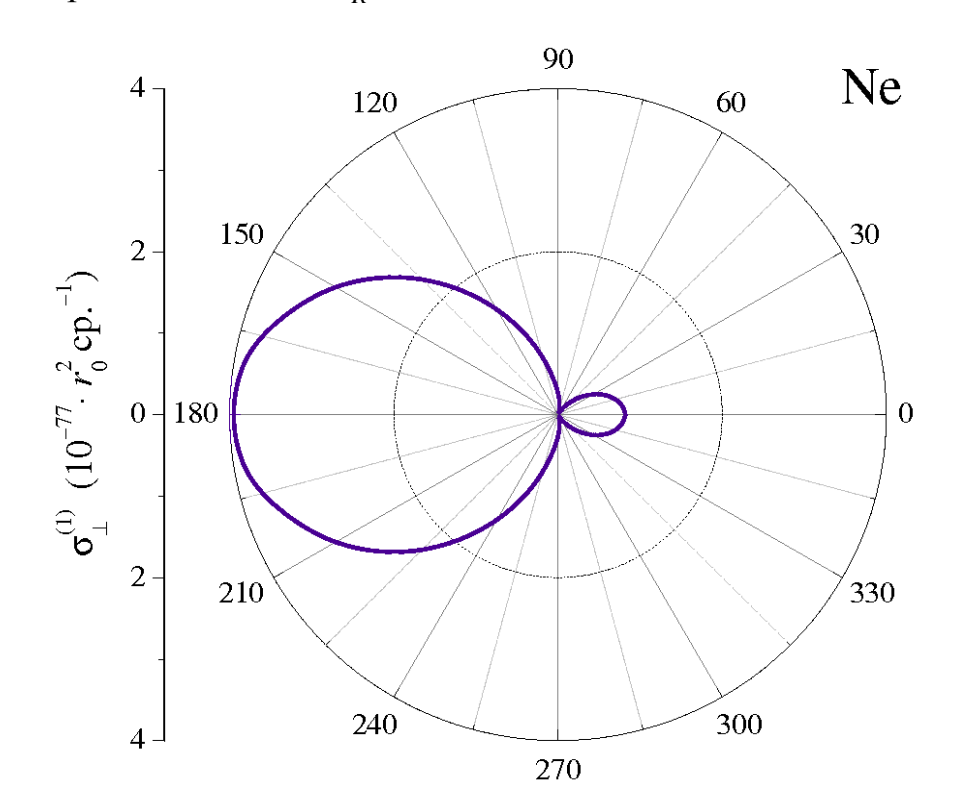


Рисунок 7 - См. Рис. 6, но в полярной системе координат с полярным радиусом $\max[\sigma_{\perp}^{(1)}]$ и полярным углом θ для фиксированного значения энергии падающего XFEL—фотона $\hbar\omega=433.615$ эВ ($\hbar\omega_R=1300.845$ эВ) (см. $1s \rightarrow 3p$ дипольный резонанс в Табл. 1). $I_{1s}=870.17$ и $\Gamma_{1s}=0.27$ эВ

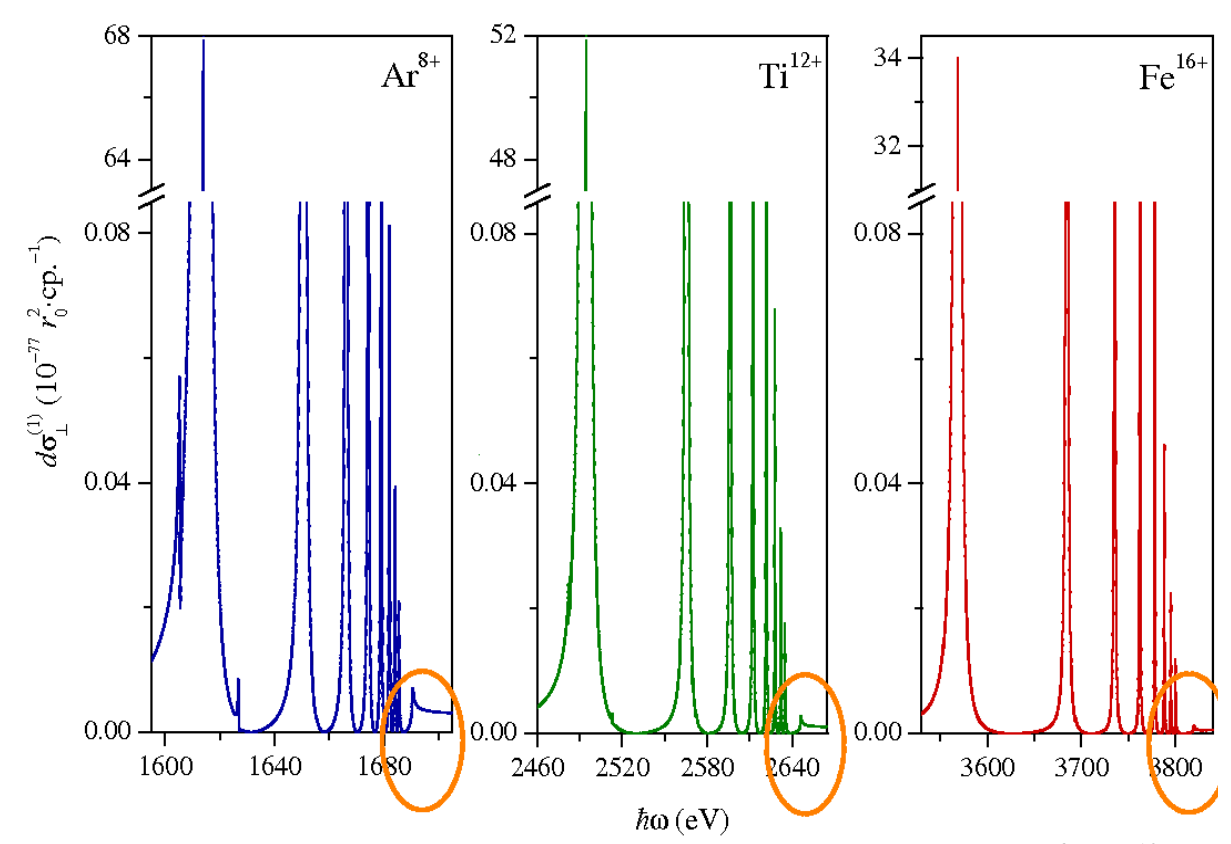


Рисунок 8 - Дифференциальнные сечения слияния для ионов ${\rm Ar^{8+}}$, ${\rm Ti^{12+}}$ и ${\rm Fe^{16+}}$ в области энергии падающего XFEL—фотона $2\hbar\omega\cong I_{1s}$ \pm (200 ÷600) эВ. Угол рассеяния $\theta=150^\circ$, $I_{1s}=3380.791$ (${\rm Ar^{8+}}$), 5292.143 (${\rm Ti^{12+}}$) и 7639.277 (${\rm Fe^{16+}}$) эВ (расчет диссертации). $\Gamma_{1s}=0.590$ (${\rm Ar^{8+}}$), 0.778 (${\rm Ti^{12+}}$) и 1.046 (${\rm Fe^{16+}}$) эВ [12]. Выделены области непрерывных спектров энергий

Дифференциальное сечение процесса (13) определяется выражением:

$$\frac{d\sigma_{\perp}}{d\Omega_{R}} \equiv \sigma_{\perp}^{(1)} = |\eta M|^{2}, \tag{14}$$

$$M = \sum_{x>F} Q \left(\frac{1}{2\omega - \Delta + i\gamma_{1s}} - \frac{1}{2\omega + \Delta} \right), \tag{15}$$

$$Q = (4l + 2)R_l^{(1)}R_l^{(2)}P_l(\cos\Psi), \tag{16}$$

где $\eta=2\pi c r_0^2/\omega,\ \Delta=I_{1s}+x\,,F$ – уровень Ферми и P_l – полином Лежандра.

В Разделе 4.2 теория предыдущего раздела распространена на случай свободного атома неона (Ne; $Z=10;\ [0]=1s^22s^22p^6\ [^1S_0]$). Такой выбор объекта исследования обусловлен, прежде всего, сферической симметрией основного состояния атома Ne и его доступностью для проведения высокоточных экспериментов.

Таблица 1. Спектральные характеристики амплитуд вероятности $1s \to nl$ переходов в состояния дискретного спектра атома Ne: $\langle r_{nl} \rangle$ — средний радиус возбужденного nl—электрона, $\hbar\omega$ — энергия падающего XFEL—фотона. $\theta=150^\circ,~I_{1s}=870.17$ эB, $\Gamma_{1s}=0.27$ эB.

nl	$\langle r_{nl} \rangle$ (Å)	ћω (эВ)	Q*)
3 <i>s</i>	2.30	432.704	0.24 [-5]
3 <i>p</i>	3.17	433.615	0.13 [-4]
4 <i>p</i>	7.41	434.420	0.41 [-5]
5 <i>p</i>	13.22	434.711	0.18 [-5]
3 <i>d</i>	5.53	434.348	0.14 [-10]
<u>4</u> f	9.53	434.680	0.68 [-15]

^{*)} Символ [-n] означает множитель 10^{-n} .

Результаты расчета представлены на Рис. 6, 7 и в Таблице 1. Учтены лишь наиболее интенсивные $1s \to n(s,p,d,f)$ переходы $(n \le 15)$ в состояния дискретного спектра. Для состояний $1s \to xl$ ионизации учтены лишь значения орбитальных чисел $l \in [0;17]$. Для I_{1s} — энергии порога ионизации 1s —оболочки и естественной Γ_{1s} —ширины распада 1s —вакансии Ne приняты (в эВ) экспериментальные значения 870.17 и 0.27 [11], соответственно.

Согласно Рис. 6 дифференциальное сечение процесса (14) в области энергий $\omega \cong I_{1s}/2$ носит ярко выраженный резонансный характер. При этом, лидирующий вклад в вероятность слияния трех XFEL—фотонов в один дают переходы в состояния дискретного (Табл. 1) и сплошного (Рис. 6) спектра дипольно разрешенной p—симметрии возбуждения (ионизации).

В **Разделе 4.3** теория Раздела 4.1 распространена на случай атомного иона. Исследована динамика эффекта слияния фотонов при переходе от атома неона к ряду ионов его изоэлектронной последовательности. Взяты ионы аргона (Ar^{8+} ; Z=18), титана (Ti^{12+} ; Z=22) и железа (Fe^{16+} ; Z=26).

Результаты расчета представлены в Табл. 2 и на Рис. 8, 9.

Для ионов Ar^{8+} , Ti^{12+} и Fe^{16+} теория диссертации в соответствующих областях энергий XFEL—фотонов и ω_R —фотона слияния обнаруживает возникновение *протяженной резонансной структуры* дифференциального сечения процесса слияния (14), а *лидирующие* резонансы сечений принимают характер *гигантских* резонансов.

Увеличение заряда ядра наблюдается локализация к ядру состояний дискретного спектра и, соответственно, делокализация состояний непрерывного спектра энергий. Как результат, интенсивность эффекта слияния через состояния непрерывного спектра энергий перераспределяется в область рождения гигантских резонансов сечения рассеяния.

Таблица 2. Дифференциальные сечения для лидирующих резонансов $1s \rightarrow nl$ переходов в состояния дискретного спектра ионов Ar^{8+} , Ti^{12+} и Fe^{16+} . $\hbar\omega$ – энергия падающего XFEL—фотона. Параметры расчета (эВ): $\Gamma_{1s}=0.590,\ I_{1s}=3380.791\ (Ar^{8+}),\ \Gamma_{1s}=0.778,\ I_{1s}=5292.143\ (Ti^{12+})$ и $\Gamma_{1s}=1.046,\ I_{1s}=7639.277\ (Fe^{16+})$. Угол рассеяния $\theta=150^\circ$.

nl	Ar^{8+}		Ti ¹²⁺		Fe ¹⁶⁺	
	ћω (эВ)	$\sigma_{\perp}^{(1)}\!\cdot\!10^{77}$	ħω (эВ)	$\sigma_{\perp}^{(1)}\!\cdot\! 10^{77}$	<i>ħ</i> ω (эВ)	$\sigma_{\perp}^{(1)}\!\cdot\! 10^{77}$
3 <i>s</i>	1605.326	0.03818	2482.153	0.02274	3552.582	0.01362
3 <i>p</i>	1613.831	67.97397	2494.252	52.68750	3568.243	33.98469
4p	1650.677	7.71778	2565.506	6.24329	3684.550	4.14727
5 <i>p</i>	1666.238	1.66357	2596.263	1.37493	3735.432	0.92614
6 <i>p</i>	1674.294	0.50201	2612.370	0.41967	3762.266	0.28370
3 <i>d</i>	1626.813	0.00826	2512.840	0.00307	3592.267	0.00257
4 <i>f</i>	1656.810	0.00042	2574.980	0.00083	3697.407	0.00082

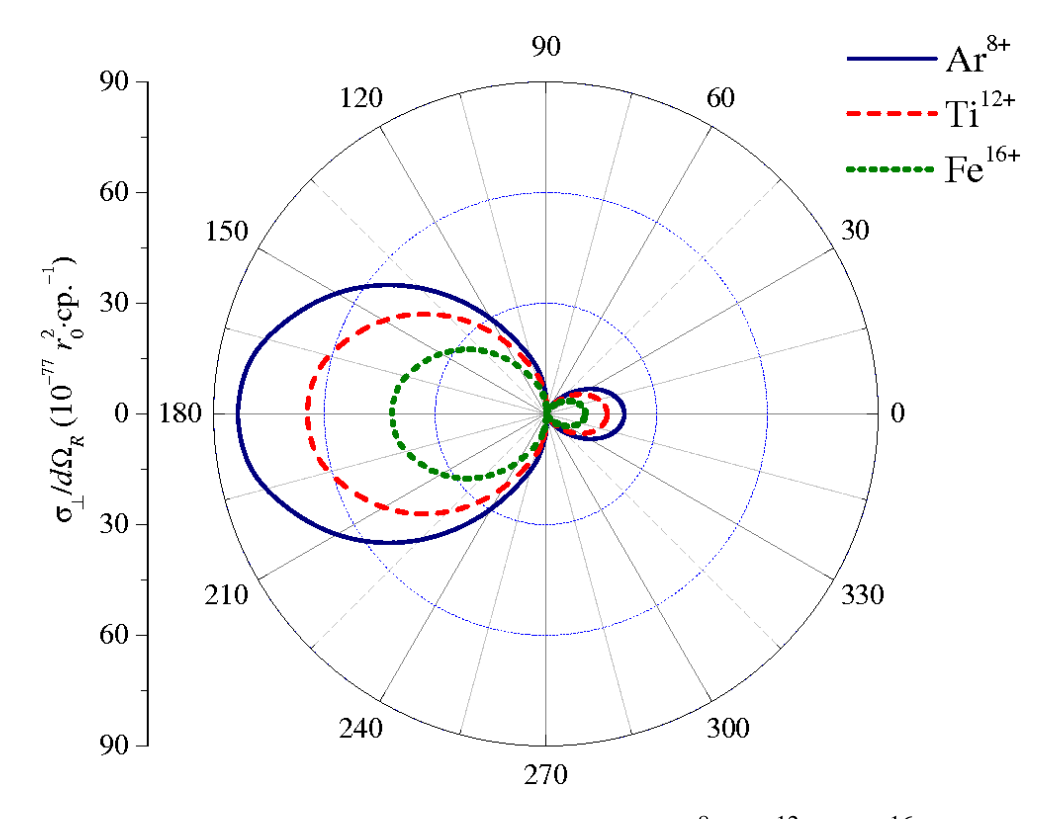


Рисунок 9 - Индикатрисы слияния для ионов Ar^{8+} , Ti^{12+} и Fe^{16+} с полярным радиусом $\max[\sigma_{\perp}^{(1)}]$ и полярным углом θ для фиксированных значений энергии падающих XFEL—фотонов $\hbar\omega=1613.831$ эВ (Ar^{8+} ; $\hbar\omega_R=4841.493$ эВ), 2494.252 эВ (Ti^{12+} ; $\hbar\omega_R=7482.756$ эВ) и 3568.243 эВ (Fe^{16+} ; $\hbar\omega_R=10704.729$ эВ) (см. соответствующие $1s\to 3p$ дипольные резонансы в Табл. 2)

- В Заключении дана сводка основных результатов и выводов диссертации.
- 1. На примере свободного атома марганца теоретически предсказано существование гигантского автоионизационного резонанса в спектрах комптоновского рассеяния фотона атомом с открытой оболочкой в основном состоянии. Именно: распад виртуальной 3p-вакансии по $3p^53d^6 \rightarrow 3p^63d^4\varepsilon f$ каналу супер-Костера-Кронига приводит к возникновению *гигантского автоионизационного резонанса* в сечении комптоновского рассеяния фотона электронами атома.
- 2. Установлено, что, в отличие от процесса фотопоглощения, в спектрах комптоновского рассеяния абсолютные значения и формы профиля автоионизационного резонанса существенно изменяются при варьировании энергий $\hbar\omega_1$ ($\hbar\omega_2$) падающего (рассеянного) фотонов и θ угла рассеяния.
- 3. Проведен расчет абсолютных величин и формы спектра комптоновского рассеяния *неполяризованного* фотона атомом Ti атома с открытой оболочкой в основном состоянии.
- **4**. Дано сравнение результатов теории диссертации для атома Ті не только с результатами импульсного приближения, но прежде всего с результатами существующего эксперимента. Сравнение демонстрирует хорошее согласие нашей теории с экспериментальными данными. Кроме того, результат, полученный для атома ²²Ті (достаточно «близкого» к атому ²⁵Мп) служит «тестом надежности» расчета сечения комптоновского рассеяния в случае атома Мп.
- 5. Установлено, что контактное взаимодействие фотона с электронами возбужденного атомом на аттосекундной шкале времени приводит к квантовому эффекту возникновения резонансов аномального неупругого ($\omega_2 > \omega_1$) рассеяния.
- **6.** На примере атома Ве получены абсолютные величины и форма *трижды* дифференциального сечения аномального неупругого рассеяния в зависимости от энергии фотона, приготавливающего состояния возбуждения/ионизации атома и угла рассеяния.
- 7. Установлено, что при условии $\hbar\omega_2 > \hbar\omega_1$ наблюдается структура сечения *аномального* комптоновского рассеяния: в результирующем сечении возникают *локальные* максимумы вероятности эффекта аномального неупругого рассеяния на одноэлектронных состояниях непрерывного спектра.
- **8.** Показано, что при увеличении энергии $\hbar\omega_0$ —фотона (приготавливающего состояния $1s \to n(\epsilon)p$ возбуждения/ионизации) локальные максимумы сечения нормального комптоновского рассеяния уменьшаются и сдвигаются в длинноволновую область энергий ω_2 —фотона относительно энергии упругого рассеяния, а сами профили сечения комптоновского рассеяния заметно уширяются. Подобные изменения, но в *коротковолновой* области по энергии $\hbar\omega_2$ —фотона, наблюдаются как для комптоновских

профилей, так и локальных максимумов сечения аномального комптоновского рассеяния.

- **9.** Получены абсолютные величины и формы дифференциального (по углу рассеяния) сечения слияния трех XFEL—фотонов в один фотон в поле атома (Ne) и атомного иона (Ar⁸⁺, Ti¹²⁺, Fe¹⁶⁺). В области энергий падающего XFEL—фотона $\hbar\omega \cong I_{1s}/2$ установлены ярко выраженная резонансная структура и сильная угловая анизотропия дифференциального сечения слияния.
- 10. Показано, что в предполагаемой схеме эксперимента компланарного и аксиально-симметричного XFEL-фотонов слияния трех c вероятностью последние сливаются в один фотон в области углов рассеяния $\theta \in (90^{\circ}, 180^{\circ})$ (эффект назад). Установлено рассеяния появление «инфракрасной расходимости» дифференциального сечения слияния формально математическом пределе $\hbar\omega \rightarrow 0$.
- **11.** С целью демонстрации возможности экспериментального исследования *предсказываемого* «эффекта слияния» методами классической теории вероятности дана *оценка* максимальной абсолютной величины *наблюдаемого* дифференциального сечения процесса.
- 11. Показано, что переход от атома (в нашем случае атом Ne) к ионам изоэлектронной последовательности сопровождается расширением энергетических областей резонансов слияния И между лидирующими резонансами спектра слияния вдоль шкалы энергий падающих на ион XFELфотонов появляются протяженные «окна прозрачности». Также установлено, что основной вклад в вероятность процесса слияния вносят состояния дипольно (l=1) разрешенной p-симметрии. При этом, эффект локализации дискретных состояний высших ($l \ge 2$) симметрий сопровождается увеличением их вклада в сечение слияния.

СПИСОК ЦИТИРОВАННОЙ ЛИТЕРАТУРЫ

- 1. **Kane, P.P.** Inelastic scattering of X-rays and gamma rays by inner shell electrons / P.P. Kane // Phys. Reports 1992. V. 218. P. 67–139.
- 2. **Eisenberger, P.** Compton scattering of X-rays from bound electrons / P. Eisenberger, P.M. Platzmann // Phys. Rev. A 1970. V. 2. P. 415–423.
- 3. **Pelligrini, C.** The physics of x-ray free-electron lasers / C. Pelligrini, A. Marinelli, S. Reiche // Rev. Mod. Phys. 2016. V. 88. P. 015006.
- 4. **Glenzer, S.H.** X-ray Thomson scattering in high energy density plasmas / S.H. Glenzer, R. Redmer // Rev. Mod. Phys. 2009. V. 81. P. 1625–1663.
- 5. **Remington, B.A.** Experimental astrophysics with high power lasers and Z pinches / B.A. Remington, R.P. Drake, D.D. Ryutov // Rev. Mod. Phys. -2006. V. 78. P. 775–807.
- 6. **Hugtenburg, R. P.** Anomalous Rayleigh scattering with dillute concentrations of elements of biological importance / R. P. Hugtenburg, D. A. Bradley // Nucl. Instr. Meth. Phys. Res. B 2004. V. 213. P. 552–555.

- 7. **Biggs, F.** Hartree-Fock Compton profiles for the elements / F. Biggs, L.B. Mendelsohn, J.B. Mann // At. Data Nucl. Data Tables 1975. V.16. P.201–309.
- 8. **Bruhn, R.** 3*p*-excitation of atomic Mn: experimental evidence for the super Coster-Kronig decay / R. Bruhn, B. Sonntag, H. W. Wolff // Phys. Lett. A 1978. V. 69. P. 9–11.
- 9. **Singh, P.** Differential cross-section measurements for elastic and inelastic scattering of 17.44 keV photons / P. Singh, S. Kumar, J. Goswamy, D. Mehta, N. Singh // Nucl. Instrum. Meth. Phys. Res. B 2006. V. 244. P. 295–302.
- 10. **Huotari, S.** Asymmetry of Compton profiles / S. Huotari, K. Hämäläinen, S. Manninen, A. Issolah, M. Marangolo // J. Phys. Chem. Solids 2001. V. 62. P. 2205–2213.
- 11. **Coreno, M.** Measurement and *ab initio* calculation of the Ne photoabsorption spectrum in the region of the *K* edge / M. Coreno, L. Avaldi, R. Camilloni, K. C. Prince, M. de Simone, J. Karvonen, R. Colle, S. Simonucci // Phys. Rev. A 1999. V. 59. P. 2494–2497.
- 12. **Chen, M.H.** Relativistic Auger and X-Ray deexcitation rates of highly stripped atoms / M.H. Chen, B. Crasemann, Kh R. Karim, H. Mark // Phys. Rev. A 1981. V. 24. P. 1845–1851.

ОСНОВНЫЕ ПУБЛИКАЦИИ АВТОРА

Статьи, опубликованные в журналах, входящих в базы данных международных индексов научного цитирования Scopus и Web of Science:

- A1. Hopersky, A.N. Anomalous elastic scattering of an X-Ray photon by an atom with an open shell / A.N. Hopersky, I.D. Petrov, V.A. Yavna, A.M. Nadolinsky, **R.V. Koneev** // J. Phys. B 2004. V. 37. No 16. P. 3313–3319.
- A2. Khoperskiĭ, A.N. Elastic scattering of a photon by an atom with an open shell / A.N. Khoperskiĭ, A.M. Nadolinskiĭ, V.A. Yavna, **R.V. Koneev** // Optics and Spectroscopy. 2005. V. 98 (2). P. 161-165. DOI: 10.1134/1.1870054.
- A3. Khoperskiĭ, A.N. Resonance inelastic scattering of a photon by the neon atom in the region of the K and KL 23 ionization thresholds / A.N. Khoperskiĭ, A.M. Nadolinskiĭ, **R.V. Koneev**, V.A. Yavna // Optics and Spectroscopy. 2006. V. 100 (4). P. 510-516. DOI: 10.1134/S0030400X06040059
- A4. Hopersky, A.N. Inelastic scattering of an X-ray photon by a manganese atom / A.N. Hopersky, A.M. Nadolinsky, **R.V. Koneev**, M.E. Vasil'eva // Optics and Spectroscopy. 2008. V. 105 (5). P. 705-710. DOI: 10.1134/S0030400X08110106.
- A5. Khopersky, A.N. Scattering of a photon by an electron of the atom continuous spectrum / A.N. Khopersky, A.M. Nadolinsky, **R.V. Koneev**, V.A. Yavna // Optics and Spectroscopy. 2015. V. 119 (2). P. 187-190. DOI: 10.1134/S0030400X15080123.

A6. Hopersky, A.N. Merging of X-Ray photons in the field of a light atomic ion / A.N. Hopersky, A.M. Nadolinsky, **R.V. Koneev** // JETP Letters. – 2017. – V. 105 (9). - P. 568-571. – DOI: 10.1134/S0021364017090107

Статьи, опубликованные в журналах, входящих в базу РИНЦ:

- А7. Надолинский, А.М. Рассеяние рентгеновского фотона атомом меди / А.М. Надолинский, А.Н. Хоперский, В.А. Явна, Д.В. Дзюба, **Р.В. Конеев** // Вестник РГУПС. Физ.-мат. науки -2004. № 2. С. 108-113.
- А8. Надолинский, А.М. Аномальное упругое рассеяние рентгеновского излучения неоноподобным ионом / А.М. Надолинский, А.Н. Хоперский, В.А. Явна, Д.В. Дзюба, **Р.В. Конеев** // Вестник РГУПС. Физ.-мат. науки − 2004. − № 3.- С. 123-128.
- А9. Надолинский, А.М. Неупругое рассеяние рентгеновского фотона многозарядным положительным атомным ионом / А. М. Надолинский, А. С. Каспржицкий, А. Н. Хоперский, В.А.Явна, **Р.В. Конеев** // Вестник РГУПС. Физ.-мат. науки 2005. \mathbb{N} 4. С. 133-138.
- А10. Надолинский, А.М. Многочастичные эффекты при резонансном неупругом рассеянии фотона субвалентной оболочкой свободного атома / А.М. Надолинский, **Р.В. Конеев**, А.С. Каспржицкий, А.Н. Хоперский, В.А. Явна // Вестник РГУПС. Физ.-мат. науки 2006. N 4. С. 133-138.
- А11. Надолинский, А.М. Эффект контактного рассеяния рентгеновского фотона атомом неона / А.М. Надолинский, А.С. Каспржицкий, **Р.В. Конеев**, А.Н. Хоперский, В.А. Явна // Вестник РГУПС. Физ.-мат. науки 2007. N 2. С. 111—115.
- А12. Хоперский, А.Н. Гигантский автоионизационный резонанс при Комптоновском рассеянии рентгеновского фотона атомом с открытой оболочкой / А.Н. Хоперский, А.М. Надолинский, В.А. Явна, К.Х. Икоева, **Р.В. Конеев**, // Вестник РГУПС. Физ.-мат. науки 2013. 1 (49). С. 130-141. https://elibrary.ru/download/elibrary_18917882_74894540.pdf
- А13. Хоперский, А.Н. Аномальное неупругое рассеяние фотона возбужденным атомом на аттосекундной шкале времени / А.Н. Хоперский, А.М. Надолинский, В.А. Явна, **Р.В. Конеев** // Вестник РГУПС. Физ.-мат. науки 2013. № 2. С. 141-144. https://elibrary.ru/download/elibrary_19020854_11482827.pdf.

Статьи, опубликованные в сборниках тезисов и трудах конференций:

А14. Хоперский, А.Н. Атом как рентгеновская линза / А.Н. Хоперский, А.М. Надолинский, **Р.В. Конеев** // Сборник трудов IX Международной конференции «Фундаментальные проблемы оптики – 2016», Санкт-Петербург, 17-21 октября 2016 / под ред. проф. В. Г. Беспалова, проф. С. А. Козлова. – Санкт-Петербург: Университет ИТМО, 2016. – С. 131-132. http://conf-bpo.ifmo.ru/files/2016_materials.pdf.

- А15. Хоперский, А.Н. Слияние рентгеновских фотонов в поле атомного иона / А.Н. Хоперский, А.М. Надолинский, **Р.В. Конеев** // VI международная конференция по фотонике и информационной оптике, 1–3 февраля 2017 г. Москва: НИЯУ МИФИ, 2017. С. 474-475.
- А16. Хоперский, А.Н. Рэлеевское рассеяние двух фотонов атомом / А.Н. Хоперский, А.М. Надолинский, **Р.В. Конеев** // VII международная конференция по фотонике и информационной оптике, 24–26 января 2018 г. : сборник научных трудов. Москва: НИЯУ МИФИ, 2018. С. 438-439.
- А17. Хоперский, А.Н. Резонансное неупругое рассеяние двух XFEL—фотонов многоэлектронным атомом / А.Н. Хоперский, А.М. Надолинский, **Р.В. Конеев** // Сборник трудов X международной конференции «Фундаментальные проблемы оптики 2018», Санкт-Петербург, 15-19 октября 2018 / под ред. проф. В. Г. Беспалова, проф. С. А. Козлова. Санкт-Петербург: Университет ИТМО, 2018. С. 98-99.
- А18. Хоперский, А.Н. Квадрупольная эмиссия при рассеянии двух фотонов атомом / А.Н. Хоперский, А.М. Надолинский, О.Б. Сухорукова, **Р.В. Конеев** // VIII международная конференция по фотонике и информационной оптике, 23–25 января 2019 г. : сборник научных трудов. Москва: НИЯУ МИФИ, 2019. С. 511-512.